

## 블록 암호 구조에 대한 불능 차분 공격\*

김종성\*\*, 흥석희\*\*, 이상진\*\*, 임종인\*\*, 은희천\*\*\*

### Impossible Differential Cryptanalysis for Block Cipher Structures

Jongsung Kim\*\*, Seokhie Hong\*\*, Sangjin Lee\*\*, Jongin Lim\*\*, Hichun Eun\*\*\*

#### 요약

Biham<sup>[4]</sup>등에 의해 소개된 불능 차분 공격은 불능 차분 특성을 이용하는 공격법이다. 그러므로 블록 암호의 불능 차분 공격에 대한 안전성은 불능 차분 특성에 의해 측정된다. 본 논문에서는 라운드 함수의 구체적인 형태를 고려하지 아니한 블록 암호 구조로부터 발생할 수 있는 여러 가지 불능 차분 특성을 찾는 널리 활용 가능한 방법을 제시한다. 이 방법을 이용하여 Nyberg<sup>[12]</sup>가 제시한 일반화된 Feistel network와 일반화된 RC6 유사 구조에 대한 여러 가지 불능 차분 특성을 찾을 수 있다. 본 논문에서 다루는 모든 라운드 함수는 전단사 함수이다.

#### ABSTRACT

Impossible differential cryptanalysis(IDC) introduced by Biham et. al.<sup>[4]</sup> uses impossible differential characteristics. Therefore, a security of a block cipher against IDC is measured by impossible differential characteristics. In this paper, we provide a wildly applicable method to find various impossible differential characteristics of block cipher structures not using the specified form of a round function. Using this method, we can find various impossible differential characteristics for Nyberg's generalized Feistel network and a generalized RC6-like structure. Throughout the paper, we assume round functions used in block cipher structures are bijective.

**Keyword :**

#### I. 서 론

블록 암호에 대한 가장 강력한 공격법들로서 차분 공격<sup>[2]</sup>과 선형 공격<sup>[9]</sup>이 있다. 이러한 공격법들은 기존의 여러 가지 블록 암호에 효과적으로 적용되어 왔다. 그래서 블록 암호의 차분 및 선형 공격에 대한 안전성의 평가에 많은 관심을 가지게 되었다. 1992년, Nyberg와 Knudsen은<sup>[11]</sup> 차분 공격에 대한 증명 가능한 안전성의 개념을 소개하고, Feistel 구조의 차분 공격에 대한 증명 가능한 안전성을 제시하였다.

그 후, 차분 및 선형 공격에 대한 증명 가능한 많은 블록 암호 구조들이 연구되었다<sup>[1,6,7,8,10,13,15]</sup>. 그러나 차분 및 선형 공격에 대한 안전성의 평가는 블록 암호의 안전성을 평가하는데에 한계가 있다. 왜냐하면, 차분 및 선형 공격에 취약하지 않은 블록 암호가 다른 공격법들에 취약할 수 있기 때문이다. 예를 들어, 라운드 함수가 전단사인 3 라운드 Feistel 구조는 차분 및 선형 공격에 대한 증명 가능한 안전성<sup>[11]</sup>을 가지고지만, 5라운드 불능 차분 특성이 존재한다. 이러한 사실은 Nyberg<sup>[13]</sup>가 제시한 Feistel의 일반화된 구조에

\* 본 연구는 고려대학교 특별연구비에 의하여 수행 되었습니다.

\*\* 고려대학교 정보보호기술연구센터(CIST)(joshep, hsh, sangjin, jilim)@cist.korea.ac.kr

\*\*\* 고려대학교 자연과학대학 정보수학과(hceun@tiger.korea.ac.kr)

도 적용되어진다. (이는 Nyberg의 conjecture가 옳다는 전제하에서 성립한다.[표 1])

본 논문에서는 라운드 함수가 전단사인 블록 암호 구조에서 발생할 수 있는 불능 차분 특성을 찾는 널리 활용 가능한 방법을 제시한다.

#### (표 1) 본 논문의 결과에 대한 요약

( $n$ : 각 라운드에 존재하는 함수  $F$ 의 개수,  $p$ : 함수  $F$ 에 대한 최대 평균 차분 확률, A: 최대 평균 차분 확률이  $p^{2n}$ 으로 유계할 라운드 수  $r$ , B: 불능 차분 특성의 라운드 수  $r$ )

블록암호구조	차분공격(A)	불능차분공격(B)
일반화된 Feistel network	$r \geq 3n, (n \geq 1)$	$r = 3n+2, (n=2)$ $r = 7, (n=2)$
comment	conjecture <sup>[12]</sup>	성질 1 (IV장)
일반화된 RC6 유사 구조		$r = 4n+1$
comment		성질 2 (IV장)

## II. 불능 차분 공격에 대한 새로운 기본적인 개념

본 절에서는 불능 차분 공격에 대한 여러 가지 새로운 기호와 정의들을 소개한다. 블록 암호 구조  $S$ 는 전단사인 라운드 함수  $F$ 를 가지며,  $n$ 개의 입/출력 블록을(예를 들어 Feistel 구조는 2개의 입/출력 블록을 가진다.) 가진다고 가정하자. 즉,  $S$ 의 한 라운드에 대한 입력과 출력을 각각  $(Y_1, Y_2, \dots, Y_n)$ 과  $(X_1, X_2, \dots, X_n)$ 라 가정하자.

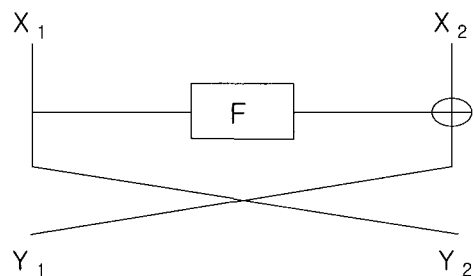
### 정의 1

블록 암호 구조  $S$ 에 대한  $n \times n$  암호화 특성 행렬  $E$ 와  $n \times n$  복호화 특성 행렬  $D$ 는 다음과 같이 정의 한다. 만약  $Y_i$ 가  $X_j$ 에 영향을 받는다면,  $E$ 의  $(i, j)$  성분을 1로 정의하며, 영향을 받지 않는다면,  $(i, j)$  성분을 0으로 정의한다. 특히,  $Y_i$ 가  $F(X_j)$ 에 영향을 받는다면,  $E$ 의  $(i, j)$  성분을 1 대신  $1_F$ 로 정의한다. 거꾸로, 만약  $X_j$ 가  $Y_i$ 에 영향을 받는다면,  $D$ 의  $(i, j)$  성분을 1로 정의하며, 영향을 받지 않는다면,  $(i, j)$  성분을 0으로 정의한다. 특히,  $X_j$ 가  $F(Y_i)$  또는  $F^{-1}(Y_i)$ 에 영향을 받는다면,  $D$ 의  $(i, j)$  성분을 1 대신  $1_F$ 로 정의한다.

[그림 1]과 같은 Feistel 구조의 암/복호화 특성 행

렬은 정의 1에 의하여 다음과 같이 된다.

$$E = \begin{pmatrix} 1_F & 1 \\ 1 & 0 \end{pmatrix}, \quad D = \begin{pmatrix} 0 & 1 \\ 1 & 1_F \end{pmatrix}$$



(그림 1) Feistel 구조에 대한 한 라운드

만약 블록 암호 구조  $S$ 의 암/복호화 특성 행렬  $E$ 와  $D$ 의 각 열의 성분  $1(\neq 1_F)$ 의 개수가 한개 이하라면, 다음장에서 제시될 알고리즘을 이용하여  $S$ 에 대한 불능 차분 특성의 길이를 쉽게 구할 수 있다. 이러한 행렬을 1-property 행렬이라 부르기로 하자. 본 논문에서는  $E$ 와  $D$  모두 1-property 행렬인  $S$ 에 대해서만 고려한다.

### 정의 2

고정된 입력 차분  $\alpha = (\alpha_1, \alpha_2, \dots, \alpha_n)$ 에 대응하는 차분 벡터  $\vec{\alpha} = (\alpha_1, \alpha_2, \dots, \alpha_n)$ 은 다음과 같이 정의 한다.

$$\alpha_i = \begin{cases} 0 & \text{if } \alpha_i = 0 \\ 1^* & \text{otherwise} \end{cases}$$

고정된 입력 차분  $\alpha$ 에 대한  $r$  라운드 후의 가능한 출력 차분(한 블록에 대한 출력 차분)은 5가지로 표현 될 수 있다. 0 차분, 0이 아니면서 고정되지 않은 차분, 0이 아닌 고정된 차분, 0이 아닌 고정된 차분과 0이 아니면서 고정되지 않은 차분의 exor, 그리고 고정되지 않은 차분으로 표현 되어진다. 입력 차분  $\alpha$ 에 대한  $r$  라운드 후의 출력 차분에 대응하는 벡터를  $\vec{a}$ 로 표기하고, 벡터  $\vec{a}$ 의  $i$ 번째 성분을  $a_{r,i}$ 로 표기한다면, 성분  $a_{r,i}$ 에 대응하는 차분은 표 2와 같이 정의한다. (위와 같은 작업을 복호화 과정에 적용할 때에는,  $\vec{a}$  대신에  $\vec{b}$ 를  $a_{r,i}$  대신에  $b_{r,i}$ 를 사용한다.)

(표 2) 차분 벡터의 성분과 대응하는 차분

성 분	대응하는 차분
0	0 차분
1	0이 아니면서 고정되지 않은 차분
$1^*$	0이 아닌 고정된 차분
$2^*$	0이 아닌 고정된 차분과 0이 아니면서 고정되지 않은 차분의 exor
$t(\geq 2)$	고정되지 않은 차분

[표 2]에 의하면, 성분  $t(\geq 2)$ 에 대한 대응하는 차분은 성분  $t$ 로부터 알 수 없다. 다시 말해, 성분  $t$ 에 대응하지 않는 차분을 알 수 없다. 반면, 성분 0, 1,  $1^*, 2^*$ 에 대한 대응하지 않는 차분은 각 성분들로부터 알 수 있다. 예를 들어, 성분  $2^*$ 가 차분  $\alpha_i \oplus \delta_j$ 에 대응된다면, ( $\alpha_i$ : 0이 아닌 고정된 차분,  $\delta_j$ : 0이 아니면서 고정되지 않은 차분) 성분  $2^*$ 는 결코 차분  $\alpha_i$ 를 나타낼 수 없다. (앞으로 사용되는 차분의 기호  $\alpha_i, \alpha_j, \alpha_k$ 는 0이 아닌 고정된 차분을  $\delta_i, \delta_j, \delta_k$ 는 0이 아니면서 고정되지 않은 차분을,  $x_i, x_j, x_k$ 는 고정되지 않은 차분을 나타내기로 하자.) 이러한 사실은 블록 암호 구조  $S$ 에 대한 불능 차분 특성을 찾는데 유용하게 이용된다.

차분 벡터  $\overrightarrow{a}_r$  또는  $\overrightarrow{b}_r$ 을 계산하기 위해서는 차분 벡터와 특성 행렬 사이의 연산을 정의해야 한다. 차분 벡터  $\overrightarrow{a}_r$ 과  $\overrightarrow{b}_r$ 은 각각 다음과 같이 계산되어진다.

$$\begin{aligned}\overrightarrow{a}_r &= \overrightarrow{a}_{r-1} \cdot E = (a_{r-1,i}) \cdot (E_{i,j}) \\ &= (\sum_i a_{r-1,i} \cdot E_{i,j}), \\ \overrightarrow{b}_r &= \overrightarrow{b}_{r-1} \cdot D = (b_{r-1,i}) \cdot (D_{i,j}) \\ &= (\sum_i b_{r-1,i} \cdot D_{i,j})\end{aligned}$$

먼저, 곱  $a_{r-1,i} \cdot E_{i,j}$ 에 대해서는 [표 3]와 같이 정의한다. (복호화 과정의 계산도 암호화 과정의 계산과 동일하다.)

그리고 두 성분 사이의 덧셈  $a_{r-1,i_1} \cdot E_{i_1,j_1} + a_{r-1,i_2} \cdot E_{i_2,j_2}$  ( $i_1 \neq i_2$ )은 대응하는 두 차분에 대한 exor을 나타내므로, 다음과 같이 자연스럽게 정의 할 수 있다.

1. \*을 가지고 있지 않은 두 성분의 덧셈은 정수 위에서의 덧셈 연산과 동일하다.
2. 두 성분 중 하나의 성분만이 \*을 가질 때, 다음과

같이 정의한다.

- 만약 성분  $k$ 가 0 또는 1이면,  $1^* + k = (1+k)^*$  이 되고,  $k$ 가 2 이상의 성분이라면,  $1^* + k = 1 + k$ 가 된다.

- 만약 성분  $k$ 가 0이면,  $2^* + k = (2+k)^*$ 이 되고,  $k$ 가 1 이상의 성분이라면,  $2^* + k = 2 + k$ 가 된다.

(표 3) 곱  $a_{r-1,i} \cdot E_{i,j}$ 에 대한 정의 및 의미

( $k$ : 벡터에 대한 임의의 성분값)

$a_{r-1,i} \cdot E_{i,j}$	의 미
$k \cdot 0 = 0$	$i$ 번째 입력 블록은 $j$ 번째 출력 블록에 아무런 영향을 주지 않는다.
$k \cdot 1 = k$	$i$ 번째 입력 블록은 $j$ 번째 출력 블록에 $F$ 함수를 거치지 않고 직접 영향을 준다.
$k \cdot 1_F$	$i$ 번째 입력 블록은 $F$ 함수를 거친 후에도 $j$ 번째 출력 블록에 영향을 준다.
$0 \cdot 1_F = 0$	0 차분에 대한 $F$ 함수 후의 출력 차분은 0이 된다.
$1 \cdot 1_F = 1$	$\delta_i$ 에 대한 $F$ 함수 후의 출력 차분은 $\delta_j$ 가 된다.
$1^* \cdot 1_F = 1$	$\alpha_i$ 에 대한 $F$ 함수 후의 출력 차분은 $\delta_j$ 가 된다.
$2^* \cdot 1_F = 2$	$\alpha_i \oplus \delta_j$ 에 대한 $F$ 함수 후의 출력 차분은 $x_j$ 가 된다.
$t \cdot 1_F = t$	$x_i$ 에 대한 $F$ 함수 후의 출력 차분은 $x_j$ 가 된다.

블록 암호 구조  $S$ 의 암/복호화 특성 행렬이 1-property 행렬이므로, [표 3]의 곱 연산에 의한 성분  $a_{r-1,i} \cdot E_{i,j}$ 는 모든  $i$ 에 대하여 1개 이하의 \*을 갖는다. 따라서 더하여지는 두 성분이 모두 \*을 가질 수는 없다. [표 4]은 두 성분의 덧셈 연산에 대응하는 두 차분의 exor을 나타낸 것이다.

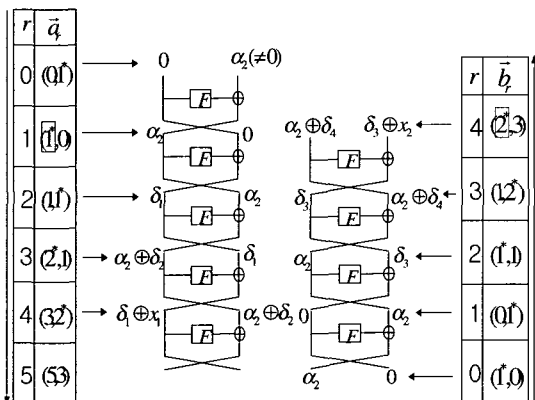
(표 4) 두 성분의 덧셈 연산에 대응하는 두 벡터의 exor ( $\gamma_i$ : 임의의 성분  $k$ 에 대응하는 차분,  $t_i, t_j$ : 2이상의 성분)

두 성분의 덧셈	대응하는 두 벡터의 exor
$0 + k = k$	$0 \oplus \gamma_i = \gamma_i$
$1 + 1 = 2$	$\delta_i \oplus \delta_j = x_k$
$1 + 1^* = 2^*$	$\delta_i \oplus \alpha_j = \delta_i \oplus \alpha_j$
$1 + 2^* = 3$	$\delta_i \oplus (\delta_j \oplus \alpha_k) = x_i$
$1 + t = 1 + t$	$\delta_i \oplus x_j = x_k$
$1^* + t = 1 + t$	$\alpha_i \oplus x_j = x_k$
$2^* + t = 2 + t$	$(\alpha_i \oplus \delta_j) \oplus x_k = x_i$
$t_i + t_j = t_i + t_j$	$x_i \oplus x_j = x_k$

위와 같이 정의된 곱셈과 덧셈 연산은 논리적으로 ([표 2]의 관점에서) 잘 정의 되어진다.

새롭게 정의된 연산의 이해를 돋기 위해 라운드 함수가 전단사인 Feistel 구조를 살펴보자. 입력 차분 벡터  $\vec{a} = (0, 1^*)$ 에 대한  $r$  라운드 후의 출력 차분 벡터  $\vec{a}'$ 는 위에서 정의된 연산에 의하여 다음과 같이 계산 되어진다. ([그림 2]의 왼쪽 그림 참조)

$$\begin{aligned} - \vec{a}_1 &= \vec{a} \cdot E = (0 \cdot 1_F + 1^* \cdot 1, 0 \cdot 1 + 1^* \cdot 0) = \\ &= (0 + 1^*, 0 + 0) = (1^*, 0). \\ - \vec{a}_2 &= \vec{a}_1 \cdot E = (1^* \cdot 1_F + 0 \cdot 1, 1^* \cdot 1 + 0 \cdot 0) = \\ &= (1 + 0, 1^* + 0) = (1, 1^*). \\ - \vec{a}_3 &= \vec{a}_2 \cdot E = (1 \cdot 1_F + 1^* \cdot 1, 1 \cdot 1 + 1^* \cdot 0) = \\ &= (1 + 1^*, 1 + 0) = (2^*, 1). \\ - \vec{a}_4 &= \vec{a}_3 \cdot E = (2^* \cdot 1_F + 1 \cdot 1, 2^* \cdot 1 + 1 \cdot 0) = \\ &= (2 + 1, 2^* + 0) = (3, 2^*). \\ - \vec{a}_5 &= \vec{a}_4 \cdot E = (3 \cdot 1_F + 2^* \cdot 1, 3 \cdot 1 + 2^* \cdot 0) = \\ &= (3 + 2^*, 3 + 0) = (5, 3). \end{aligned}$$



(그림 2) 차분 벡터  $\vec{a} = (0, 1^*)$ 와  $\vec{b} = (1^*, 0)$ 에 대한  $\vec{a}$ ,  $\vec{b}$ 의 대응되는 차분

( $\delta_1, \delta_2, \delta_3, \delta_4 : 0$  아니면서 고정되지 않은 차분,  $x_1, x_2$  : 고정되지 않은 차분)

이제, 차분 벡터의 성분을 이용하여 블록 암호 구조  $S$ 에 대한 불능 차분 특성을 찾아보자. 입력 차분과 출력 차분이 각각  $\alpha$ (차분 벡터  $\vec{a}$ 에 대응되는 차분)와  $\beta$ 인 불능 차분 특성을  $\alpha \leftrightarrow \beta$ 로 표기한다면, 다음과 같은 성질을 갖는다.

- 만약  $a_{r,i} = 0$ 이면,  $\beta_i \neq 0$ 인  $r$  라운드 불능 차분 특성  $\alpha \leftrightarrow \beta$ 이 존재한다.

- 만약  $a_{r,i} = 1$ 이면,  $\beta_i = 0$ 인  $r$  라운드 불능 차분 특성  $\alpha \leftrightarrow \beta$ 이 존재한다.

- 만약  $a_{r,i} = 1^*$ (대응하는 차분:  $\alpha_i$ )이면,  $\beta_i \neq \alpha_i$ 인  $r$  라운드 불능 차분 특성  $\alpha \leftrightarrow \beta$ 이 존재한다.

- 만약  $a_{r,i} = 2^*$ (대응하는 차분:  $\alpha_i \oplus \delta_j$ )이면,  $\beta_i = \alpha_i$ 인  $r$  라운드 불능 차분 특성  $\alpha \leftrightarrow \beta$ 이 존재한다.

만약  $a_{r,i} > 2$ 이면, 성분  $a_{r,i}$ 로부터 대응되는 차분을 추측할 수 없다. 이것은 2이상의 성분을 이용한 불능 차분 특성이 존재하는지 여부를 정확히 알 수 없음을 의미한다. 그러나 불능 차분 공격의 관점에서 성분  $0, 1, 1^*, 2^*$ 은 유용하게 이용된다. 이러한 성분의 집합을  $U = \{0, 1, 1^*, 2^*\}$ 로 표기하고, 이제부터 집합  $U$ 에 속하지 않는 성분은 고려하지 않는다.

$a_{r,i} \in U$ 인 경우,  $r$  라운드 불능 차분 특성은 위와 같이 항상 존재하며, 또한  $r$  라운드 이상의 불능 차분 특성도 존재 할 수 있다.  $r$  라운드 이상의 불능 차분 특성을 찾기 위해  $m \in U$ 의 보조 성분 집합인  $\bar{m}$ 을 정의하자.  $\bar{m}$ 는 다음과 같은 성질을 갖는다. 첫째,  $\bar{m}$ 은  $U$ 의 부분 집합이다. 둘째,  $\bar{m}$ 의 원소들은  $m$ 에 대응하지 않는 모든 차분들을 나타낸다. 예를 들어,  $1^*$ 을 살펴보자.  $1^*$ 은  $0$ 이 아닌 고정된 차분  $\alpha$ 를 나타내므로,  $1^*$ 은  $U$ 의 원소들에 대응하는 차분들 중  $0, \alpha, (\neq \alpha)$  또는  $\alpha \oplus \delta$ ; 차분과는 대응될 수 없다. 따라서,  $\bar{1}^* = \{0, 1^*, 2^*\}$ 이 된다. 비슷한 방법으로  $m \in U$ 에 대한  $\bar{m}$ 을 [표 5]와 같이 얻을 수 있다.

(표 5) 성분  $m \in U$ 와 집합  $\bar{m}$ 에 대응하는 차분

$m$	차분	$\bar{m}$	차분
0	0	$\bar{0} = \{1, 1^*\}$	$\delta_j, \alpha_i$
1	$\delta_i$	$\bar{1} = \{0\}$	0
$1^*$	$\alpha_i$	$\bar{1}^* = \{0, 1^*, 2^*\}$	$0, \alpha_j, \alpha_i \oplus \delta_j$
$2^*$	$\alpha_i \oplus \delta_j$	$\bar{2}^* = \{1^*\}$	$\alpha_i$

$\bar{m}$ 의 정의에 의하여,  $a_{r,i} \in U$ 일 때 다음과 같은  $r$ 라운드 이상의 불능 차분 특성이 존재한다.

- 만약  $a_{r,i} = m$ 이고  $b_{r,i} \in \bar{m}$ 면,  $(r+r')$ 라운드

불능 차분 특성  $\alpha \leftrightarrow \beta$ 이 존재한다.

- 만약  $a_{r,i} \in \overline{m}$ 이고  $b_{r,i} = m$ 이면, ( $r+r'$ )라운드 불능 차분 특성  $\alpha \leftrightarrow \beta$ 이 존재한다.

### 정의 3

고정된 입력 차분 벡터  $\vec{a}$ 에 대해서,  $\vec{a}$ 와 성분  $m \in U$  (또는 집합  $\overline{m}$ )에 따른 최대 암호화 라운드 수는 다음과 같이 정의한다.

$$\begin{aligned} ME_i(\vec{a}, m) &= \max_r \{r \mid a_{r,i} = m\}, \\ ME_i(\vec{a}, \overline{m}) &= \max_{l \in \overline{m}} \{ME_i(\vec{a}, l)\}. \end{aligned}$$

또한, 성분  $m \in U$  (또는 집합  $\overline{m}$ )에 따른 최대 암호화 라운드 수는 다음과 같이 정의한다.

$$\begin{aligned} ME_i(m) &= \max_{\vec{a} \neq 0} \{ME_i(\vec{a}, m)\}, \\ ME_i(\overline{m}) &= \max_{\vec{a} \neq 0} \{ME_i(\vec{a}, \overline{m})\}. \end{aligned}$$

동일한 방법으로, 각각의 최대 복호화 라운드 수는 다음과 같이 정의한다.

$$\begin{aligned} MD_i(\vec{b}, m) &= \max_r \{r \mid b_{r,i} = m\}, \\ MD_i(\vec{b}, \overline{m}) &= \max_{l \in \overline{m}} \{MD_i(\vec{b}, l)\}, \\ MD_i(m) &= \max_{\vec{b} \neq 0} \{MD_i(\vec{b}, m)\}, \\ MD_i(\overline{m}) &= \max_{\vec{b} \neq 0} \{MD_i(\vec{b}, \overline{m})\}. \end{aligned}$$

정의 3에 의하면, 블록 암호 구조  $S$ 는  $(ME_i(\vec{a}, m) + MD_i(\vec{b}, \overline{m}))$  라운드 또는  $(ME_i(\vec{a}, \overline{m}) + MD_i(\vec{b}, m))$  라운드의 불능 차분 특성을 갖는다. 만약  $M(\vec{a}, \vec{b}) = \max_{i,m} \{ME_i(\vec{a}, m) + MD_i(\vec{b}, \overline{m})\} = \max_{i,m} \{ME_i(\vec{a}, \overline{m}) + MD_i(\vec{b}, m)\}$ ,  $M = \max_{\vec{a} \neq 0, \vec{b} \neq 0} M(\vec{a}, \vec{b})$ 라 정의한다면, 블록 암호 구조  $S$ 는  $M(\vec{a}, \vec{b})$  라운드 또는  $M$  라운드의 불능 차분 특성 또한 갖는다. 한편,  $M = \max_{i,m} \{ME_i(m) + MD_i(\overline{m})\} = \max_{i,m} \{ME_i(m) + MD_i(\overline{m})\} \circ |(i)$  식은 다음 장에서 제시되는 알고리즘에 유용하게 사용된다.) 성립하며, 위의 수식들로부터 다음과 같은 정리를 이끌어 낼 수 있다.

### 정리 1

라운드 함수가 전단사이고 암/복호화 특성 행렬이

1-property 행렬인 블록 암호 구조  $S$ 에 대해서 집합  $U$ 를 이용하여 찾을 수 있는 최대 불능 차분 특성의 라운드 수는  $M$ 이다.

다음은 Feistel 구조에 대한  $M$  라운드 불능 차분 특성을 찾는 과정을 보여준다.

- 라운드 함수가 전단사인 Feistel 구조는 5 라운드 불능 차분 특성을 갖는다.

먼저,  $i, m$ 에 따른  $ME_i((0, 1^*), m)$ 과  $MD_i((1^*, 0), \overline{m})$ 의 값을 구해 보자. [그림 2]에 의하여  $ME_i((0, 1^*), m)$ 과  $MD_i((1^*, 0), \overline{m})$ 의 값은 쉽게 체크 할 수 있다. 특히 [그림 2]의 박스 부분에 의하여  $M((0, 1^*), (1^*, 0)) = 5$  가 됨을 알 수 있다. 이와 동일한 방법으로 다른 입력 차분 벡터들에 대한 다음과의 식들을 얻을 수 있다.

$$\begin{aligned} M((0, 1^*), (0, 1^*)) &= 4, \quad M((0, 1^*), (1^*, 1^*)) = 4, \\ M((1^*, 0), (0, 1^*)) &= 3, \quad M((1^*, 0), (1^*, 0)) = 4, \\ M((1^*, 0), (1^*, 1^*)) &= 3, \quad M((1^*, 1^*), (0, 1^*)) = 3, \\ M((1^*, 1^*), (1^*, 0)) &= 4, \quad M((1^*, 1^*), (1^*, 1^*)) = 2. \end{aligned}$$

따라서  $M = \max_{\vec{a} \neq 0, \vec{b} \neq 0} M(\vec{a}, \vec{b}) = 5$ 이 된다.

그러므로 라운드 함수가 전단사인 Feistel 구조는 5라운드 불능 차분 특성  $(0, \alpha_2) \leftrightarrow (\alpha_2, 0)$ 을 갖는다.

### III. 라운드 수 $M$ 을 구하는 알고리즘

본 장에서는 앞장에서 소개한 정의와 기호들을 이용하여 불능 차분 특성의 길이  $M$ 을 구하는 알고리즘을 제시한다. 이 알고리즘은 블록 암호 구조  $S$ 의 암/복호화 특성 행렬이 1-property 행렬일 때 유용하게 이용된다. 알고리즘은 다음과 같이 크게 4단계의 과정을 수행한다.

- Step 1. 암/복호화 특성 행렬  $E = (E_{i,j})_{n \times n}$ 과  $D = (D_{i,j})_{n \times n}$ 를 입력한다.
- Step 2. 최대 암호화 라운드 수  $ME_i(m)$ 을 계산한다.  $(1 \leq i \leq n, m \in U)$
- Step 3. 최대 복호화 라운드 수  $MD_i(\overline{m})$ 을 계산한다.
- Step 4.  $U$ 를 이용한 불능 차분 특성의 최대 길이  $M = \max_{i,m} \{ME_i(m) + MD_i(\overline{m})\}$ 을 출력한다.

[표 6]은 위의 단계들의 수행 과정상 필요한 저장 공간에 대한 설명이다. 알고리즘에서 가장 중요한 부분은 차분 벡터의 성분들중 \*을 가지는 성분을 구분해 내는 것이다. [표 6]은 성분  $y$ 와  $y^*$ 을 구분하기 위한 변수  $tt_i$ 에 대한 설명이다. [표 6]에서 출력 차분 벡터에 대한  $j$ 번째 성분이 \*을 가질 필요충분 조건이  $tt_1 + tt_2 + \dots + tt_n = -1$  된다. 왜냐하면 암/복호화 특성 행렬  $E$ 와  $D$ 가 1-property 행렬이기 때문이다.

(표 6) 알고리즘에 사용되는 저장 공간의 값에 대한 의미 ( $y=0, 1, 2, \dots$ )

저장 공간	의 미
$e_{i,j}=0$	$E_{i,j}=0$
$e_{i,j}=1$	$E_{i,j}=1$ or $1_F$
$\widehat{e}_{i,j}=0$	$E_{i,j}=1$ ( $y^* \cdot E_{i,j} = y^*$ 로서 *을 보존한다.)
$\widehat{e}_{i,j}=1$	$E_{i,j}=0$ or $1_F$ ( $y^* \cdot E_{i,j}=0$ or $y$ 로서 *을 보존하지 못한다.)
$a_{r,i}=y$	차분 벡터 $\vec{a}_r$ 의 $i$ 번째 성분이 $y$ 또는 $y^*$ 이다.
$\widehat{a}_{r,i}=0$	차분 벡터 $\vec{a}_r$ 의 $i$ 번째 성분이 *을 가지지 않는다.
$\widehat{a}_{r,i}=-1$	차분 벡터 $\vec{a}_r$ 의 $i$ 번째 성분이 *을 갖는다.
$ME_i(\vec{a}, m) = r$	$ME_i(\vec{a}, m) = r$ ( $m=0$ 이면 $k=1$ , $m=1$ 이면 $k=2$ , $m=1^*$ 이면 $k=3$ , $m=2^*$ 이면 $k=4$ 이다.)
$ME_i(k) = r$	$ME_i(m) = r$ ( $m, k$ : 위와동일)
$MD_i(k) = r$	$MD_i(m) = r$ ( $m, k$ : 위와동일)
$MD_i(k) = r$	$MD_i(\overline{m}) = r$ ( $m, k$ : 위와동일)

(표 7) 알고리즘 안에서의 차분 벡터와 행렬의 곱

차분 벡터의 성분 $c, (\widehat{a}_i)$	$E$ or $D$ 의 성분 $d, (\widehat{e}_{i,j})$	$c \cdot d$	$\widehat{a}_i + \widehat{e}_{i,j} = tt_i$ if( $tt_i = 1$ ) $tt_i \leftarrow 0$
$y^*, (-1)$	$0, (1)$	$0$	$0$
$y^*, (-1)$	$1_F, (1)$	$y$	$0$
$y^*, (-1)$	$1, (0)$	$y^*$	$-1$
$y, (0)$	$0, (1)$	$0$	$0$
$y, (0)$	$1_F, (1)$	$y$	$0$
$y, (0)$	$1, (0)$	$y$	$0$

불능 차분 특성의 길이  $M$ 을 구하는 알고리즘

**Step 1 :**

```
if  $E_{i,j}=0$ , then  $e_{i,j} \leftarrow 0$ ,  $\widehat{e}_{i,j} \leftarrow 1$ 
if  $E_{i,j}=1$ , then  $e_{i,j} \leftarrow 1$ ,  $\widehat{e}_{i,j} \leftarrow 0$ 
if  $E_{i,j}=1_F$ , then  $e_{i,j} \leftarrow 1$ ,  $\widehat{e}_{i,j} \leftarrow 1$ 
```

**Step 2 :**

$ME_i(k) \leftarrow 0$ , for  $1 \leq i \leq n$ ,  $1 \leq k \leq 4$

For each input difference vector  $\vec{a}$

if( $a_{0,i}=0$ )  $\widehat{a}_{0,i} \leftarrow 0$ , for  $1 \leq i \leq n$

if( $a_{0,i}=1$ )  $\widehat{a}_{0,i} \leftarrow -1$ , for  $1 \leq i \leq n$

$ME_i(\vec{a}, k) \leftarrow 0$ , for  $1 \leq i \leq n$ ,  $1 \leq k \leq 4$

$r \leftarrow 0$

while(exists  $l$ ,  $(1 \leq l \leq n)$  such that  $a_l \leq 2$ .)

for  $i=1$  to  $n$

$t_i \leftarrow 0$ ,  $\widehat{t}_i \leftarrow 0$

for  $j=1$  to  $n$

$t_i \leftarrow t_i + a_{r,j} \cdot e_{j,i}$

$tt_j \leftarrow \widehat{a}_{r,i} + \widehat{e}_{j,i}$

if( $tt_j=1$ )  $tt_j \leftarrow 0$

$\widehat{t}_i \leftarrow \widehat{t}_i + tt_j$

$r \leftarrow r+1$

$a_{r,i} \leftarrow t_i$ ,  $\widehat{a}_{r,i} \leftarrow \widehat{t}_i$ , for  $1 \leq i \leq n$

for  $i=1$  to  $n$

if( $a_{r,i}=0$ )  $ME_i(\vec{a}, 1) \leftarrow r$

if( $a_{r,i}=1$ ),  $\widehat{a}_{r,i}=0$ )  $ME_i(\vec{a}, 2) \leftarrow r$

if( $a_{r,i}=1$ ),  $\widehat{a}_{r,i}=-1$ )  $ME_i(\vec{a}, 3) \leftarrow r$

if( $a_{r,i}=2$ ),  $\widehat{a}_{r,i}=-1$ )  $ME_i(\vec{a}, 4) \leftarrow r$

for  $i=1$  to  $n$

for  $k=1$  to  $4$

if( $ME_i(k) \leq ME_i(\vec{a}, k)$ )

$ME_i(k) \leftarrow ME_i(\vec{a}, k)$

**Step 3:** Step 1과 2에서 행렬  $E$ 대신  $D$ 를 적용하여  $MD_i(k)$ 를 구한다.

for  $i=1$  to  $n$

$\overline{MD}_i(1) \leftarrow \max\{MD_i(2), MD_i(3)\}$

$\overline{MD}_i(2) \leftarrow MD_i(1)$

$\overline{MD}_i(3) \leftarrow \max\{MD_i(1), MD_i(3),$

$MD_i(4)\}$

$\overline{MD}_i(4) \leftarrow MD_i(3)$

**Step 4 :**

$M = \max_{1 \leq i \leq n, 1 \leq k \leq 4} \{ME_i(k) + \overline{MD}_i(k)\}$  을 출력한다.

## IV. 블록 암호 구조에의 적용

본장에서는 III장에서 제시한 알고리즘을 이용하여

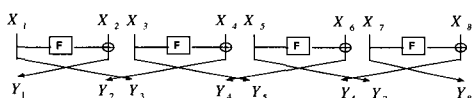
Nyberg의 일반화된 Feistel network와 일반화된 RC6 유사 구조에 대한 여러 가지 불능 차분 특성을 찾는다. 본장의 결과들은 각 입/출력 블록의 개수가 작은 경우의 (32개 이하) 프로그래밍에 기초한 것이다. 하지만, 일반화된 구조는 일정한 구조적 특성을 가지고 있기 때문에, 프로그래밍의 결과들을 입/출력 블록의 개수에 따른 일반화가 가능하다.

#### 4.1 일반화된 Feistel Network에의 적용

일반화된 Feistel network는 Nyberg<sup>[12]</sup>에 의해 제안된 블록 암호 구조이다. 간단하게 그 구조를 살펴보면 다음과 같다. 한 라운드에 대한 입력값을 ( $X_1, X_2, \dots, X_{2n}$ )라 하자. 주어진  $n$ 개의 라운드 함수  $F_1, F_2, \dots, F_n$ 과  $n$ 개의 라운드 키  $K_1, K_2, \dots, K_n$ 에 대해서, 출력값 ( $Y_1, Y_2, \dots, Y_{2n}$ )은 다음과 같이 계산되어진다.

$$\begin{aligned} Y_{2j} &= F_{j+1}(X_{2j+1} \oplus K_{j+1}) \oplus X_{2j+2}, \\ Y_{2j+1} &= X_{2j-1}, \quad (j=1, \dots, n-1), \\ Y_1 &= F_1(X_1 \oplus K_1) \oplus X_2, \quad Y_{2n} = X_{2n-1} \end{aligned}$$

만약  $F_j$ 를 키가 사용된 함수  $F$ 로 간주하고,  $n=4$ 라면, 일반화된 Feistel network은 다음과 같이 묘사된다.



(그림 3) 일반화된 Feistel network에 대한 한 라운드

이제 일반화된 Feistel network에 대한 불능 차분 특성을 찾아보자. 일반화된 Feistel network는 1-property 행렬  $E$ 와  $D$ 를 갖는다. 그러므로 앞장에서 제시한 알고리즘을 이 network에 직접 적용할 수 있다. 이 network에 대한 알고리즘의 수행 시간은 대략  $2 \cdot 2^n$ 번의 Step 2의 과정이 요구된다. 하지만 일반화된 Feistel network의 암호화 힘수와 복호화 힘수가 거의 동일하다는 사실을 이용하여 알고리즘의 수행 시간을  $1/2$ 으로 줄일 수 있다. 즉, Step 3의 과정에서 필요한 최대 복호화 라운드 수  $MD_k$ 는 Step 2에서 계산된  $ME_k$ 로부터 쉽게 구할 수 있다. 성질 1은 일반화된 Feistel network에 대한 알고리즘의

적용 결과를 일반화 시킨 결과이다.

#### 성질 1

- 각 라운드마다 2개의 전단사 함수  $F$ 를 가지고 있는 일반화된 Feistel network는 7 라운드의 불능 차분 특성을 갖는다. 또한, 각 라운드마다 3개 이상의 전단사 함수  $F$ 를 가지고 있는 일반화된 Feistel network는  $(3n+2)$  라운드의 불능 차분 특성을 갖는다.

또한 III장에서 제시한 알고리즘을 약간 변형하여 성질 1에서 언급된 최대 불능 차분 특성의 구체적인 모양을 찾을 수 있다. (표 8).

표 8. 일반화된 Feistel Network의 최대 길이의 불능 차분 특성 ( $\alpha_1, \alpha_2, \alpha_3, \beta_1: 0이 아닌 고정된 차분, (\gamma_1, \gamma_2) \neq (0, 0)$ )

7 라운드 불능 차분 특성 ( $n=2$ )
$(0, 0, 0, \alpha_1) \rightsquigarrow (\gamma_1, 0, \gamma_2, 0)$
$(0, 0, \alpha_1, 0) \rightsquigarrow (\gamma_1, 0, \gamma_2, 0)$
$(0, 0, \alpha_1, \alpha_2) \rightsquigarrow (\beta_1, 0, 0, 0)$
$(0, 0, \alpha_1, \alpha_2) \rightsquigarrow (0, 0, \beta_1, 0)$
$(0, \alpha_1, \alpha_2, 0) \rightsquigarrow (\alpha_2, 0, 0, 0)$
$(0, \alpha_1, \alpha_2, \alpha_3) \rightsquigarrow (\alpha_2, 0, 0, 0)$
( $3n+2$ ) 라운드 불능 차분 특성 ( $3 \leq n \leq 20$ )
$(0, 0, \dots, 0, \alpha_1) \rightsquigarrow (\gamma_1, 0, \gamma_2, 0, \dots, 0)$
$(0, \dots, 0, \alpha_1, 0) \rightsquigarrow (\beta_1, 0, 0, \dots, 0, 0)$
$(0, \dots, 0, \alpha_1, \alpha_2) \rightsquigarrow (\gamma_1, 0, \gamma_2, 0, \dots, 0)$

#### 4.2 일반화된 RC6 유사 구조에의 적용

일반화된 RC6 유사 구조는 Moriai 등<sup>[11]</sup>에 의해 제시된 블록 암호 구조로서 다음과 같이 묘사된다.

$$\begin{aligned} Y_{2i} &= X_{2i-1} \quad (1 \leq i \leq n) \\ Y_{2j+1} &= F(X_{2j-1}) \oplus X_{2j} \quad (1 \leq j \leq n-1) \\ Y_1 &= F(X_{2n-1}) \oplus X_{2n} \end{aligned}$$

성질 2는 일반화된 RC6 유사 구조에 대한 알고리즘의 적용 결과를 일반화 시킨 결과이다.

#### 성질 2

각 라운드마다  $n$ 개의 전단사 함수  $F$ 를 가지고 있

는 일반화된 RC6 유사 구조는  $(4n+1)$  라운드 불능 차분 특성  $(0, 0, \dots, 0, \alpha_1) \rightarrow (0, 0, \dots, 0, \alpha_1)$ 을 갖는다.

## N. 결 론

본 논문에서는 라운드 함수가 전단사인 불록 암호 구조에서 발생할 수 있는 불능 차분 특성을 찾는 널리 활용 가능한 방법을 제시하였다. 이 방법을 이용하여, 일반화된 Feistel network의  $(3n+2)$ 라운드의 불능 차분 특성과 일반화된 RC6 유사 구조의  $(4n+1)$ 라운드의 불능 차분 특성을 찾을 수 있었다.

## 참 고 문 헌

- [1] K. Aoki, K. Ohta, "Strict evaluation of the maximum average of differential probability and the maximum average of linear probability", IEICE Transactions fundamentals of Electronics, Communications and Computer Sciences, No.1, 1997, pp.2~8.
- [2] E. Biham, A. Shamir, "Differential cryptanalysis of DES-like cryptosystems", Advances in Cryptology-CRYPTO'90, LNCS 537, Springer-Verlag, 1991, pp.2~21.
- [3] E. Biham, A. Shamir, "Differential cryptanalysis of the full 16-round DES", Advances in Cryptology-CRYPTO'92, LNCS 740, Springer-Verlag, 1992, pp.487~496.
- [4] E. Biham, A. Biryukov, A. Shamir, "Cryptanalysis of Skipjack reduced to 31 rounds using impossible differentials", Advances in Cryptology - EUROCRYPT'99, LNCS 1592, Springer-Verlag, 1999, pp.12~23.
- [5] J. H. Cheon, M. J. Kim, K. J. Kim, J. Y. Lee, "Improved Impossible Differential Cryptanalysis of Rijndael and Crypton", ICISC'01, LNCS 2288, Springer-Verlag, 2001, pp.39~49.
- [6] S. H. Hong, S. J. Lee, J. I. Lim, J. C. Sung, D. Y. Cho, "Provable Security against Differential and Linear Cryptanalysis for the SPN structure", FSE'00, Springer-Verlag, 2000, pp.273~283.
- [7] S. H. Hong, J. C. Sung, S. J. Lee, J. I. Lim, J. S. Kim, "Provable Security for 13 round Skipjack-like Structure", IPL, vol 82, 2002, pp.243~246.
- [8] M. Kanda, Y. Takashima, T. Matsumoto, K. Aoki, K. Ohta, "A strategy for constructing fast functions with practical security against differential and linear cryptanalysis", SAC'99, LNCS 1556, 1999, pp.264~279.
- [9] M. Matsui, "Linear cryptanalysis method for DES cipher", Advances in Cryptology - EUROCRYPT'93, LNCS 765, Springer-Verlag, 1994, pp.386~397.
- [10] M. Matsui, "New structure of block ciphers with provable security against differential and linear cryptanalysis", FSE'96, 1996, pp.205~218.
- [11] S. Moriai, S. Vaudenay, "On the Pseudorandomness of Top-Level Schemes of Block Ciphers", Advances in Cryptology - ASIACRYPT'00, LNCS 1976, Springer-Verlag, 2000, pp.289~302.
- [12] K. Nyberg, L. R. Knudsen, "Provable security against differential cryptanalysis", Advances in Cryptology - CRYPTO'92, LNCS 740, Springer-Verlag, 1992, pp.566~574.
- [13] K. Nyberg, "Generalized Feistel Networks", Advances in Cryptology - ASIACRYPT'96, LNCS 1163, 1996, pp.91~104.
- [14] M. Sugita, K. Kobara, H. Imai, "Security of Reduced Version of the Block Cipher Camellia against Truncated and Impossible Differential Cryptanalysis", Advances in Cryptology - ASIACRYPT'01, LNCS 2248, 2001, pp.193~207.
- [15] J. C. Sung, S. J. Lee, J. I. Lim, S. H. Hong, S. J. Park, "Provable Security for the Skipjack-like Structure against Differential Cryptanalysis and Linear Cryptanalysis", Advances in Cryptology - ASIACRYPT'00, LNCS 1976, 2000, pp.274~288.

-----〈著者紹介〉-----



김 종 성 (Jong-Sung Kim)

2000년 8월 : 고려대학교 수학과 학사  
 2002년 8월 : 고려대학교 수학과 석사  
 2002년 8월~현재 : 고려대학교 정보보호대학원 박사 과정  
 <관심분야> 블록 암호 및 스트림 암호의 분석과 설계



홍 석 희 (Seok-Hie Hong)

1995년 2월 : 고려대학교 수학과 학사  
 1997년 2월 : 고려대학교 수학과 석사  
 2001년 2월 : 고려대학교 수학과 박사  
 2001년 3월~현재 : 고려대학교 정보보호기술연구센터 선임 연구원  
 <관심분야> 블록 암호 및 스트림 암호의 분석과 설계



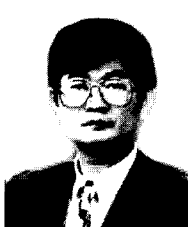
이 상 진 (Sang-Jin Lee)

1987년 2월 : 고려대학교 수학과 학사  
 1989년 2월 : 고려대학교 수학과 석사  
 1994년 8월 : 고려대학교 수학과 박사  
 1989년 2월~1999년 2월 : 한국전자통신연구소 선임 연구원  
 1999년 3월~현재 : 고려대학교 자연과학대학 부교수, 고려대학교 정보보호대학원 겸임교수, 고려대학교 정보보호기술연구센터 연구실장  
 <관심분야> 블록 암호 및 스트림 암호의 분석과 설계, 암호 프로토콜, 공개키 암호 알고리즘 분석



임 종 인 (Jong-in Lim)

1980년 2월 : 고려대학교 수학과 학사  
 1982년 2월 : 고려대학교 수학과 석사  
 1986년 2월 : 고려대학교 수학과 박사  
 1999년 2월~현재 : 고려대학교 자연과학대학 정교수, 한국통신정보보호학회 편집위원장, 고려대학교 정보보호대학원 원장, 고려대학교 정보보호기술연구센터 센터장  
 <관심분야> 블록 암호 및 스트림 암호의 분석 및 설계, 암호 프로토콜, 공개키 암호 알고리즘의 분석, 정보보호 정책



은 회 천 (Hi-Chun Eun)

1969년 2월 : 고려대학교 수학과 학사  
 1974년 2월 : 고려대학교 수학과 석사  
 1982년 2월 : 고려대학교 수학과 박사  
 1982년 3월~현재 : 고려대학교 자연과학대학 수학과 교수